

UASB法における循環方式の改善に関する研究

山口大学○荒金光弘 今井剛 浮田正夫 関根雅彦 樋口隆哉
 (株)コプロス 古賀博之 宇部工業高等専門学校 深川勝之

1. 研究目的

嫌気性処理法の1つである上向流嫌気性スラッジブランケット(Upflow Anaerobic Sludge Blanket:UASB)法は、高効率かつ省コスト型処理法としてよく用いられている。しかし、処理を担う菌を最適なpH条件下に維持するために緩衝剤の投入が必要であり、その分処理コストが増加する。そこで、アルカリ度を有効に利用するために装置内で処理水を循環させる完全循環式UASB法が開発されたが、高負荷条件下での運転は一般に困難である。そのため、高負荷条件下における処理を可能とし、かつ緩衝剤を有効利用できる部分循環式UASB法を考案した。昨年度は、投入する緩衝剤を減少させ、その影響の把握を目的とした実験を行ったが、グラニュール汚泥の充填率が低かったために有機酸が蓄積し破綻する結果となった。そこで、本研究の目的は、部分循環式UASB法における汚泥の充填率を上げ、完全循環式UASB法と処理性能を実験的に比較することにより、改善された循環方式の有効性を検討する。さらに、処理水の循環を表現できるUASBのモデル化を行い、得られた計算結果と実験結果との比較から、構築されたモデルの有効性を検討する。

2. 実験装置および方法

完全循環式、部分循環式の実験装置の概略を図1に示す。UASB装置は両方とも同規格で、反応槽と装置頂部にある汚泥・処理水・生成ガスの三相を分離する気液固三相分離器からなる。反応槽は内径92mm、高さ1500mmで有効反応容積は10.52lである。装置内の処理水質および菌相分布を把握するため、反応槽には10個のサンプリングポートを設置した。流入基質は、表1に示したものを使い希釈して用いた。実験に用いたグラニュールは、別のプラントで形成されたものを用いた。

3. モデルの構築

モデルにおいて菌体収支はグラニュールを形成しているものを付着菌、浮遊状態で存在するものを浮遊菌とし、それらの増殖(Growth)、死滅(Decay)、剥離(Slough)、付着(Attach)を考慮して、(1)式、(2)式で表される。また、基質に関しては、系内外の流入出における濃度変化と菌体による消費と菌体により生成されるものを考慮して、(3)式で表される。また、本モデルでは、pH阻害による処理機能の低下も考慮した(4)式。計算に用いた動力学係数を表2に示す。

$$\text{付着菌体収支式} \quad \frac{dX}{dt} = \left(\frac{dX}{dt} \right)_{\text{Growth}} - \left(\frac{dX}{dt} \right)_{\text{Decay}} - \left(\frac{dX}{dt} \right)_{\text{Slough}} + \left(\frac{dX}{dt} \right)_{\text{Attach}} \quad \dots \quad (1)$$

$$\text{浮遊菌体収支式} \quad \frac{dX}{dt} = Q \frac{(X_0 - X)}{V} + \left(\frac{dX}{dt} \right)_{\text{Growth}} - \left(\frac{dX}{dt} \right)_{\text{Decay}} + \left(\frac{dX}{dt} \right)_{\text{Slough}} - \left(\frac{dX}{dt} \right)_{\text{Attach}} \quad \dots \quad (2)$$

$$\text{基質収支式} \quad \frac{dS}{dt} = Q \frac{(S_0 - S)}{V} - \left(\frac{dS}{dt} \right)_{\text{Consumption}} + \left(\frac{dS}{dt} \right)_{\text{Production}} \quad \dots \quad (3)$$

$$\text{阻害係数} \quad F = \left(\exp(pH - 7.0) \right)^{0.5} \quad \dots \quad (4)$$

ここで、Xは菌体濃度(mg-COD・l⁻¹)、Sは基質濃度(mg-COD・l⁻¹)、Qは流量(day⁻¹)、Vは反応器容積(l)、tは時間(day)、FはpHの阻害係数(%)、添字の0は流入を示す。

4. 実験結果および考察

部分循環式、完全循環式の2つのUASB装置を同一条件で運転し、処理性能を比較検討した。装置の運転条件を表3に示す。この2基の緩衝剤減少実験開始後5日目における鉛直方向のVFA濃度分布を図2に示す。緩衝剤の減少率は15%である。緩衝剤減少実験開始後、図2から部分循環式UASB法では、VFAを安定して処理できていたことがわかる。しかし、完全循環式は酪酸の蓄積により破綻した。これには、水素分圧が関係していると考えられる。水素分圧が高いときには、グルコースはプロピオン酸経由で分解され、水素分圧が低いときには酪酸経由で分解されるとされており、本実験では、スラッジベッド底部でプロピオン酸および酪酸がともに蓄積していたことから、水素

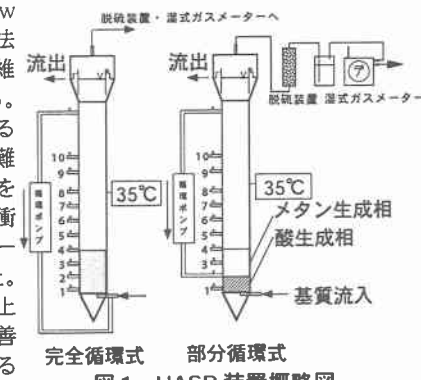


図1 UASB装置概略図

表1 基質組成表

| | |
|----------------------------------------------------|--------------------------------------------------------------------|
| Glucose | 9.4 (g · l ⁻¹) |
| A | 2.0 (mM · l ⁻¹) |
| B | 10.0 (mM · l ⁻¹) |
| C | 1.0 (mM · l ⁻¹) |
| NaHCO ₃ | 4.0 (g · l ⁻¹) |
| K ₂ HPO ₄ | 4.0 (g · l ⁻¹) |
| 酵母エキス | 100 (mg · l ⁻¹) |
| A (NH ₄) ₂ HPO ₄ | 350.0 (g · l ⁻¹) |
| KCl | 75.0 (g · l ⁻¹) |
| NH ₄ Cl | 85.0 (g · l ⁻¹) |
| FeCl ₃ · 6H ₂ O | 42.0 (g · l ⁻¹) |
| MgCl ₂ · 6H ₂ O | 81.0 (g · l ⁻¹) |
| MgSO ₄ · 7H ₂ O | 25.0 (g · l ⁻¹) |
| CaCl ₂ · 6H ₂ O | 1.8 (g · l ⁻¹) |
| C | CaCl ₂ · 6H ₂ O 150.0 (g · l ⁻¹) |

表2 動力学係数一覧

| | Glu | HAc | HPr | H ₂ | HBu |
|---------------------------------------------|-------------------|------|------|----------------|------|
| $\mu_m(\text{day}^{-1})$ 最大増殖速度 | 1.00 | 0.26 | 0.19 | 1.20 | 0.61 |
| $K_{S,\text{COD}}(\text{mg-COD/l})$ 飽和定数 | 150 | 20 | 20 | 5.0 | 90 |
| $Y(\cdot)$ 収率 | 0.10 | 0.05 | 0.05 | 0.05 | 0.05 |
| $K_d(\text{day}^{-1})$ 死滅速度 | 0.07 | 0.05 | 0.04 | 0.06 | 0.04 |
| $K_e(\text{day}^{-1})$ 制御速度 | 付着菌:0.05 死滅菌:0.04 | | | | |
| $K_B(\text{day}^{-1})$ 分解速度 | 0.005 | | | | |
| $K_f(\text{day}^{-1})$ 付着菌 | 0.00 | | | | |
| K_w 死滅菌の分解から基質への伝達係数 | 0.05 | | | | |
| α 基質からポリマーエーテルの伝達係数 | 0.05 | | | | |

表3 両装置の運転条件

| run | 経過時間 (day) | 基質濃度 (mg-COD · l ⁻¹) | 流量 (l · day ⁻¹) |
|-----|------------|----------------------------------|-----------------------------|
| 1 | 0~9 | 1000 | 15.0 |
| 2 | 9~30 | 2000 | 15.0 |
| 3 | 30~47 | 4000 | 15.0 |
| 4 | 47~72 | 8000 | 15.0 |
| 5 | 72~89 | 12000 | 15.0 |
| 6 | 89~137 | 16000 | 15.0 |

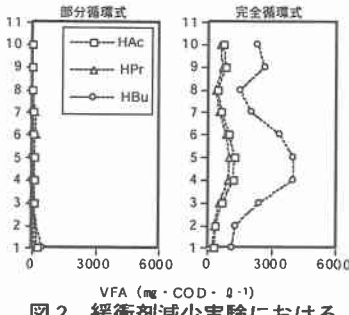


図2 緩衝剤減少実験における
鉛直VFA濃度分布

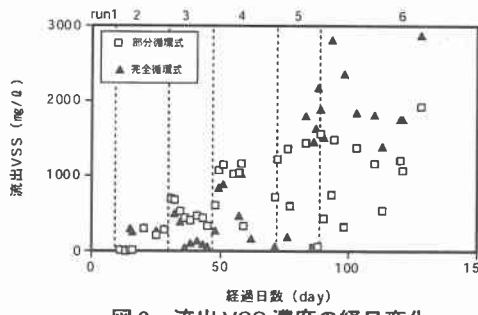


図3 流出VSS濃度の経日変化

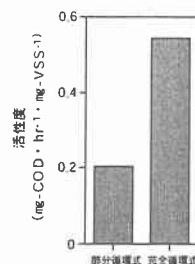


図4 浮遊菌の
酸生成活性度

分圧がある程度高かったと判断された。緩衝剤減少による槽内pHの低下で、まずプロピオン酸分解菌に影響が生じるが、水素資化性メタン生成菌はpH阻害に強いため、水素分圧は上昇せずに酪酸経由となる。しかし、さらなるpH低下により酪酸分解菌にpH阻害が生じ、酪酸が蓄積しやすい傾向となったと考えられる。次に経日的な流出VSS濃度を図3に、浮遊汚泥中の酸生成活性を図4に示す。完全循環式は、容積負荷の上昇にともない流出VSS濃度が部分循環式より高くなった。これはグラニュール表面の酸生成菌が剥離したためであると推定される。そこで、部分循環式、完全循環式UASB装置のプランケット部から汚泥を採取し、酸生成菌の活性度を求めた。浮遊汚泥中の酸生成活性は、完全循環式の方が部分循環式に比べて約3倍高い値を示した。これから完全循環式のプランケット部に酸生成菌が多く存在し、グラニュール表面の酸生成菌が循環により剥離しやすい傾向にあることが推測される。以上のことより、完全循環式は酸生成活性が全体的に低下しやすく、酪酸が蓄積しやすい傾向になると考えられる。部分循環式は酸生成菌が循環の影響を受けにくいため、酪酸分解菌の活性度は低下せずに酪酸を消費できたと考えられる。

5. モデルの有効性の検証

モデルの検証に用いた実測値は、基質濃度が8000(mg-COD·ℓ⁻¹)の1260時間目、基質濃度を12000(mg-COD·ℓ⁻¹)に上昇させた1570時間目、そして、基質濃度を16000(mg-COD·ℓ⁻¹)に上昇させた2136時間のものである。それぞれの鉛直COD濃度分布、鉛直VSS濃度分布、鉛直pH分布を図5に示す。なお、11層目から2層目へ槽内水を循環させたことから、2層目と11層目の実測値は得られなかった。鉛直COD濃度分布の比較から、1260時間と2136時間では、計算値は実測値をよく再現していることがわかる。12000(mg-COD·ℓ⁻¹)に上昇後の1570時間において装置下部の実測値が、約2000(mg-COD·ℓ⁻¹)まで上昇した。しかし、計算値は約1500(mg-COD·ℓ⁻¹)までしか上昇しなかったため、装置下部の計算値は実測値よりも低い値となった。しかしながら計算値は実測値と同様な傾向を示すことができた。鉛直VSS濃度分布の比較から、実測値での1260、1570、2136時間目では、サンプリングポート7~8にかけて、VSSが減少し、それ以上ではほぼ0であることが計算値により表現できた。鉛直pH分布の比較から、1260、1570、2136時間目の実測値においては、VFAの生成によりpHが低下し、1層目でのpHが6.6前後であった。しかし、VFAが消費された3層目からは上昇し、7.0前後となった。計算値においても、VFAの生成により1層目でのpHが6.6前後まで低下し、VFAが消費される2層目からはpHが7.2前後まで上昇し、実験値よりも少し高めの値となつたが、計算値は実測値と同様な傾向を示すことができた。

6. まとめ

部分循環式UASB法は、今回の実験結果から、処理性能において完全循環式UASB法よりも優れていることが明らかとなった。また、緩衝剤を有効利用できるという特徴も有しているため、完全循環式UASB法をさらに効率化する方法として期待できることが明らかとなった。構築した部分循環式UASB法のモデルによるシミュレーションの結果は、実測値をよく再現できた。今後、緩衝剤を段階的に減少させ処理が破綻する過程を実験的に把握し、本モデルによるシミュレーションでの再現を試みる予定である。

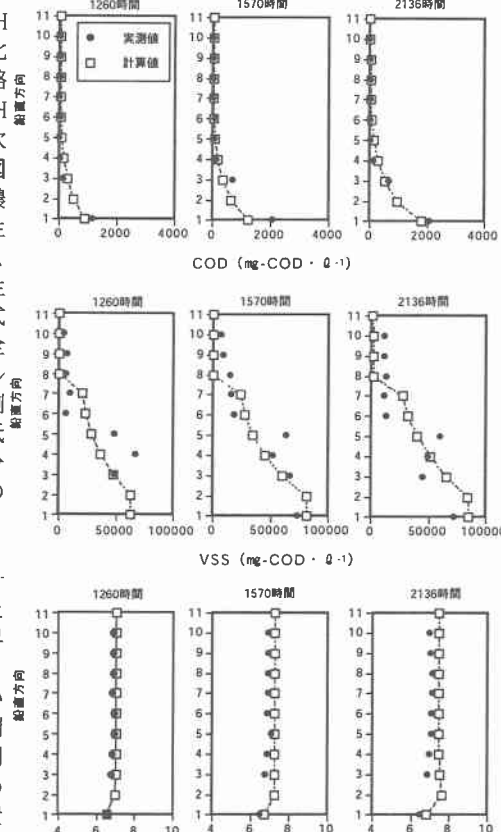


図5 鉛直COD、鉛直VSS、鉛直pHの
計算結果と実測値の比較